



**POLITECNICO**  
MILANO 1863

## **Il gradiente analitico del modello Heston++ e il suo utilizzo nella calibrazione consistente con le opzioni VIX**

**Candidato:**

Matteo Paggiaro  
Matricola 920812

**Relatori:**

Professor Daniele Marazzina  
Professor Guido Germano, UCL

Anno Accademico 2019/2020

- 1 **Introduzione**
- 2 Modelli a volatilità stocastica
- 3 Calibrazione e gradiente analitico
- 4 Algoritmi di calibrazione
- 5 Risultati numerici
- 6 Conclusioni



**Figura:** Andamento degli indici S&P500 e VIX [CBOE, 2021; Nasdaq, 2021].

## Interpretazione finanziaria

L'indice VIX rappresenta la volatilità implicita a 30 giorni dello S&P500.

## Caratteristiche principali

1. Indicatore del *market sentiment*: "fear gauge".
2. Correlazione negativa con l'indice S&P500.

## Storia dell'indice

- 1993: la CBOE introduce l'indice VIX, in funzione dello S&P100.
- 2003: ridefinizione dell'indice, modificati vari aspetti.
- 2006: introdotte le opzioni sull'indice VIX.

## Interpretazione finanziaria

L'indice VIX rappresenta la volatilità implicita a 30 giorni dello S&P500.

## Caratteristiche principali

1. Indicatore del *market sentiment*: **“fear gauge”**.
2. **Correlazione negativa** con l'indice S&P500.

## Storia dell'indice

- 1993: la CBOE introduce l'indice VIX, in funzione dello S&P100.
- 2003: ridefinizione dell'indice, modificati vari aspetti.
- 2006: introdotte le opzioni sull'indice VIX.

## Interpretazione finanziaria

L'indice VIX rappresenta la volatilità implicita a 30 giorni dello S&P500.

## Caratteristiche principali

1. Indicatore del *market sentiment*: “**fear gauge**”.
2. **Correlazione negativa** con l'indice S&P500.

## Storia dell'indice

- 1993: la CBOE introduce l'indice VIX, in funzione dello S&P100.
- 2003: ridefinizione dell'indice, modificati vari aspetti.
- 2006: introdotte le opzioni sull'indice VIX.

## Interpretazione finanziaria

L'indice VIX rappresenta la volatilità implicita a 30 giorni dello S&P500.

## Caratteristiche principali

1. Indicatore del *market sentiment*: “**fear gauge**”.
2. **Correlazione negativa** con l'indice S&P500.

## Storia dell'indice

- **1993**: la CBOE introduce l'indice VIX, in funzione dello S&P100.
- **2003**: ridefinizione dell'indice, modificati vari aspetti.
- **2006**: introdotte le **opzioni** sull'indice VIX.

## Interpretazione finanziaria

L'indice VIX rappresenta la volatilità implicita a 30 giorni dello S&P500.

## Caratteristiche principali

1. Indicatore del *market sentiment*: “**fear gauge**”.
2. **Correlazione negativa** con l'indice S&P500.

## Storia dell'indice

- **1993**: la CBOE introduce l'indice VIX, in funzione dello S&P100.
- **2003**: ridefinizione dell'indice, modificati vari aspetti.
- **2006**: introdotte le **opzioni** sull'indice VIX.



## Interpretazione finanziaria

L'indice VIX rappresenta la volatilità implicita a 30 giorni dello S&P500.

## Caratteristiche principali

1. Indicatore del *market sentiment*: “**fear gauge**”.
2. **Correlazione negativa** con l'indice S&P500.

## Storia dell'indice

- **1993**: la CBOE introduce l'indice VIX, in funzione dello S&P100.
- **2003**: ridefinizione dell'indice, modificati vari aspetti.
- **2006**: introdotte le **opzioni** sull'indice VIX.

## Interpretazione finanziaria

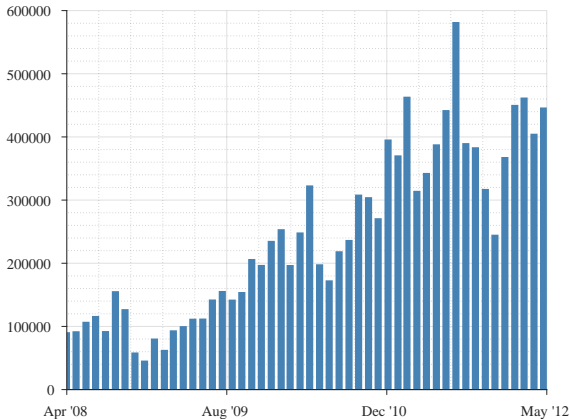
L'indice VIX rappresenta la volatilità implicita a 30 giorni dello S&P500.

## Caratteristiche principali

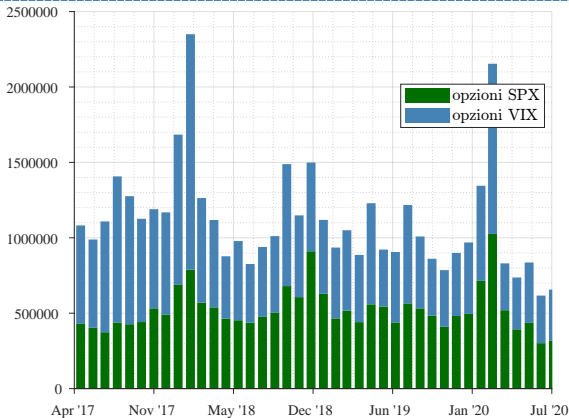
1. Indicatore del *market sentiment*: “**fear gauge**”.
2. **Correlazione negativa** con l'indice S&P500.

## Storia dell'indice

- **1993**: la CBOE introduce l'indice VIX, in funzione dello S&P100.
- **2003**: ridefinizione dell'indice, modificati vari aspetti.
- **2006**: introdotte le **opzioni** sull'indice VIX.



**Figura:** Volume giornaliero medio di opzioni VIX scambiate nel mercato U.S. [CBOE, 2021].



**Figura:** Volume giornaliero medio di opzioni VIX e S&P500 scambiate nel mercato U.S. [CBOE, 2021].

- Le opzioni VIX sono il principale strumento per fare **trading sulla volatilità**.
- Le dimensioni dei due mercati sono paragonabili.

## Obiettivo

Trovare dei **modelli finanziari** che siano in grado di interpretare, con sufficiente accuratezza, entrambi i mercati *simultaneamente*.

## Domanda

Come testare la bontà di un modello?

⇒ Attraverso la **calibrazione!**

- Le opzioni VIX sono il principale strumento per fare **trading sulla volatilità**.
- Le dimensioni dei due mercati sono paragonabili.

## Obiettivo

Trovare dei **modelli finanziari** che siano in grado di interpretare, con sufficiente accuratezza, entrambi i mercati *simultaneamente*.

## Domanda

Come testare la bontà di un modello?

⇒ Attraverso la **calibrazione!**

- Le opzioni VIX sono il principale strumento per fare **trading sulla volatilità**.
- Le dimensioni dei due mercati sono paragonabili.

## Obiettivo

Trovare dei **modelli finanziari** che siano in grado di interpretare, con sufficiente accuratezza, entrambi i mercati *simultaneamente*.

## Domanda

Come testare la bontà di un modello?

⇒ Attraverso la **calibrazione!**

- Le opzioni VIX sono il principale strumento per fare **trading sulla volatilità**.
- Le dimensioni dei due mercati sono paragonabili.

## Obiettivo

Trovare dei **modelli finanziari** che siano in grado di interpretare, con sufficiente accuratezza, entrambi i mercati *simultaneamente*.

## Domanda

Come testare la bontà di un modello?

⇒ Attraverso la **calibrazione!**



- Le opzioni VIX sono il principale strumento per fare **trading sulla volatilità**.
- Le dimensioni dei due mercati sono paragonabili.

## Obiettivo

Trovare dei **modelli finanziari** che siano in grado di interpretare, con sufficiente accuratezza, entrambi i mercati *simultaneamente*.

## Domanda

Come testare la bontà di un modello?

⇒ Attraverso la **calibrazione!**

## Consiste nel...

*“[...] determinare il valore dei parametri così che il modello replichi i prezzi di mercato **più accuratamente possibile**” [Cui et al., 2017].*

**In che modo?** Mediante:

- metodi di minimizzazione **non lineari** di una funzione obiettivo
- utilizzo del **gradiente analitico**

## Perché il gradiente analitico?

1. Elegante: formule analitiche
2. Si presta a un'interpretazione teorica
3. Costo computazionale ridotto del **94%** rispetto al gradiente numerico [Cui et al., 2017]

## Consiste nel...

*“[...] determinare il valore dei parametri così che il modello replichi i prezzi di mercato **più accuratamente possibile**” [Cui et al., 2017].*

## In che modo? Mediante:

- metodi di minimizzazione **non lineari** di una funzione obiettivo
- utilizzo del **gradiente analitico**

## Perché il gradiente analitico?

1. Elegante: formule analitiche
2. Si presta a un'interpretazione teorica
3. Costo computazionale ridotto del **94%** rispetto al gradiente numerico [Cui et al., 2017]

## Consiste nel...

*“[...] determinare il valore dei parametri così che il modello replichi i prezzi di mercato **più accuratamente possibile**” [Cui et al., 2017].*

**In che modo?** Mediante:

- metodi di minimizzazione **non lineari** di una funzione obiettivo
- utilizzo del **gradiente analitico**

## Perché il gradiente analitico?

1. Elegante: formule analitiche
2. Si presta a un'interpretazione teorica
3. Costo computazionale ridotto del **94%** rispetto al gradiente numerico [Cui et al., 2017]

## Consiste nel...

*“[...] determinare il valore dei parametri così che il modello replichi i prezzi di mercato **più accuratamente possibile**” [Cui et al., 2017].*

**In che modo?** Mediante:

- metodi di minimizzazione **non lineari** di una funzione obiettivo
- utilizzo del **gradiente analitico**

## Perché il gradiente analitico?

1. Elegante: formule analitiche
2. Si presta a un'interpretazione teorica
3. Costo computazionale ridotto del **94%** rispetto al gradiente numerico [Cui et al., 2017]

## Consiste nel...

*“[...] determinare il valore dei parametri così che il modello replichi i prezzi di mercato **più accuratamente possibile**” [Cui et al., 2017].*

**In che modo?** Mediante:

- metodi di minimizzazione **non lineari** di una funzione obiettivo
- utilizzo del **gradiente analitico**

## Perché il gradiente analitico?

1. Elegante: formule analitiche
2. Si presta a un'interpretazione teorica
3. Costo computazionale ridotto del **94%** rispetto al gradiente numerico [Cui et al., 2017]

## Consiste nel...

*“[...] determinare il valore dei parametri così che il modello replichi i prezzi di mercato **più accuratamente possibile**” [Cui et al., 2017].*

**In che modo?** Mediante:

- metodi di minimizzazione **non lineari** di una funzione obiettivo
- utilizzo del **gradiente analitico**

## Perché il gradiente analitico?

1. Elegante: formule analitiche
2. Si presta a un'interpretazione teorica
3. Costo computazionale ridotto del **94%** rispetto al gradiente numerico [Cui et al., 2017]

## Consiste nel...

*“[...] determinare il valore dei parametri così che il modello replichi i prezzi di mercato **più accuratamente possibile**” [Cui et al., 2017].*

**In che modo?** Mediante:

- metodi di minimizzazione **non lineari** di una funzione obiettivo
- utilizzo del **gradiente analitico**

## Perché il gradiente analitico?

1. Elegante: formule analitiche
2. Si presta a un'interpretazione teorica
3. Costo computazionale ridotto del **94%** rispetto al gradiente numerico [Cui et al., 2017]



### Consiste nel...

*“[...] determinare il valore dei parametri così che il modello replichi i prezzi di mercato **più accuratamente possibile**” [Cui et al., 2017].*

**In che modo?** Mediante:

- metodi di minimizzazione **non lineari** di una funzione obiettivo
- utilizzo del **gradiente analitico**

### Perché il gradiente analitico?

1. Elegante: formule analitiche
2. Si presta a un'interpretazione teorica
3. Costo computazionale ridotto del **94%** rispetto al gradiente numerico [Cui et al., 2017]

1. Illustrare **modelli finanziari** che possano interpretare simultaneamente i due mercati
2. Verificare la correttezza del **gradiente analitico** dei prezzi nei modelli scelti
3. Implementare un **algoritmo di calibrazione** robusto ed efficiente che utilizzi il gradiente analitico
4. Valutare la **performance** dell'algoritmo e dei modelli proposti

1. Illustrare **modelli finanziari** che possano interpretare simultaneamente i due mercati
2. Verificare la correttezza del **gradiente analitico** dei prezzi nei modelli scelti
3. Implementare un **algoritmo di calibrazione** robusto ed efficiente che utilizzi il gradiente analitico
4. Valutare la **performance** dell'algoritmo e dei modelli proposti

1. Illustrare **modelli finanziari** che possano interpretare simultaneamente i due mercati
2. Verificare la correttezza del **gradiente analitico** dei prezzi nei modelli scelti
3. Implementare un **algoritmo di calibrazione** robusto ed efficiente che utilizzi il gradiente analitico
4. Valutare la **performance** dell'algoritmo e dei modelli proposti

1. Illustrare **modelli finanziari** che possano interpretare simultaneamente i due mercati
2. Verificare la correttezza del **gradiente analitico** dei prezzi nei modelli scelti
3. Implementare un **algoritmo di calibrazione** robusto ed efficiente che utilizzi il gradiente analitico
4. Valutare la **performance** dell'algoritmo e dei modelli proposti

- 1 Introduzione
- 2 Modelli a volatilità stocastica**
- 3 Calibrazione e gradiente analitico
- 4 Algoritmi di calibrazione
- 5 Risultati numerici
- 6 Conclusioni

## Modello di Heston

$$\begin{cases} dS_t = r S_t dt + S_t \sqrt{v_t} dW_t^S, \\ dv_t = \kappa (\bar{v} - v_t) dt + \sigma \sqrt{v_t} dW_t^v, \\ dW_t^S dW_t^v = \rho dt. \end{cases}$$

## Vantaggi

1. Trattabilità: formule chiuse
2. Semplicità: solamente 5 parametri

## Limite

L'accuratezza del fit simultaneo dei due mercati è migliorabile.

## Modello di Heston

$$\begin{cases} dS_t = r S_t dt + S_t \sqrt{v_t} dW_t^S, \\ dv_t = \kappa (\bar{v} - v_t) dt + \sigma \sqrt{v_t} dW_t^v, \\ dW_t^S dW_t^v = \rho dt. \end{cases}$$

## Vantaggi

1. Trattabilità: formule chiuse
2. Semplicità: solamente 5 parametri

## Limite

L'accuratezza del fit simultaneo dei due mercati è migliorabile.



## Modello di Heston

$$\begin{cases} dS_t = r S_t dt + S_t \sqrt{v_t} dW_t^S, \\ dv_t = \kappa (\bar{v} - v_t) dt + \sigma \sqrt{v_t} dW_t^v, \\ dW_t^S dW_t^v = \rho dt. \end{cases}$$

## Vantaggi

1. Trattabilità: formule chiuse
2. Semplicità: solamente 5 parametri

## Limite

L'accuratezza del fit simultaneo dei due mercati è migliorabile.

## Modello di Heston

$$\begin{cases} dS_t = r S_t dt + S_t \sqrt{v_t} dW_t^S, \\ dv_t = \kappa (\bar{v} - v_t) dt + \sigma \sqrt{v_t} dW_t^v, \\ dW_t^S dW_t^v = \rho dt. \end{cases}$$

## Vantaggi

1. Trattabilità: formule chiuse
2. Semplicità: solamente 5 parametri

## Limite

L'accuratezza del fit simultaneo dei due mercati è migliorabile.

## Modello di Heston con displacement (parte di Heston++)

$$\begin{cases} dS_t = r S_t dt + S_t \sqrt{v_t + \phi_t} dW_t^S, \\ dv_t = \kappa (\bar{v} - v_t) dt + \sigma \sqrt{v_t} dW_t^v, \\ dW_t^S dW_t^v = \rho dt. \end{cases}$$

**Aggiunta:** *displacement deterministico*  $\phi_t$  nella dinamica di  $S_t$ .

## Vantaggio

Modello più versatile, si presta meglio a calibrare simultaneamente i due mercati.

## Modello di Heston con displacement (parte di Heston++)

$$\begin{cases} dS_t = r S_t dt + S_t \sqrt{v_t + \phi_t} dW_t^S, \\ dv_t = \kappa (\bar{v} - v_t) dt + \sigma \sqrt{v_t} dW_t^v, \\ dW_t^S dW_t^v = \rho dt. \end{cases}$$

**Aggiunta:** *displacement deterministico*  $\phi_t$  nella dinamica di  $S_t$ .

## Vantaggio

Modello più versatile, si presta meglio a calibrare simultaneamente i due mercati.

## Modello di Heston con displacement (parte di Heston++)

$$\begin{cases} dS_t = r S_t dt + S_t \sqrt{v_t + \phi_t} dW_t^S, \\ dv_t = \kappa (\bar{v} - v_t) dt + \sigma \sqrt{v_t} dW_t^v, \\ dW_t^S dW_t^v = \rho dt. \end{cases}$$

**Aggiunta:** *displacement deterministico*  $\phi_t$  nella dinamica di  $S_t$ .

## Vantaggio

Modello più versatile, si presta meglio a calibrare simultaneamente i due mercati.

- 1 Introduzione
- 2 Modelli a volatilità stocastica
- 3 Calibrazione e gradiente analitico**
- 4 Algoritmi di calibrazione
- 5 Risultati numerici
- 6 Conclusioni

Formuliamo il problema della calibrazione in forma analitica:

## Calibrazione

Trovare il vettore dei parametri  $\theta \in \mathbb{R}^m$  che minimizzi la funzione obiettivo  $f(\theta)$ :

$$\min_{\theta \in \mathbb{R}^m} f(\theta).$$

## Domanda (importante)

Come scegliamo la funzione obiettivo  $f$ ?

Formuliamo il problema della calibrazione in forma analitica:

## Calibrazione

Trovare il vettore dei parametri  $\theta \in \mathbb{R}^m$  che minimizzi la funzione obiettivo  $f(\theta)$ :

$$\min_{\theta \in \mathbb{R}^m} f(\theta).$$

Domanda (importante)

Come scegliamo la funzione obiettivo  $f$ ?



Formuliamo il problema della calibrazione in forma analitica:

### Calibrazione

Trovare il vettore dei parametri  $\theta \in \mathbb{R}^m$  che minimizzi la funzione obiettivo  $f(\theta)$ :

$$\min_{\theta \in \mathbb{R}^m} f(\theta).$$

### Domanda (importante)

Come scegliamo la funzione obiettivo  $f$ ?

Funzione obiettivo  $f$ 

$$f(\boldsymbol{\theta}) := \frac{1}{2N_{\text{SPX}}} \|\mathbf{r}_{\text{SPX}}(\boldsymbol{\theta})\|^2 + \frac{1}{2N_{\text{VIX}}} \|\mathbf{r}_{\text{VIX}}(\boldsymbol{\theta})\|^2,$$

dove l'elemento  $i$  del vettore  $\mathbf{r}_{\text{SPX}}$  ( $\mathbf{r}_{\text{VIX}}$ ) è dato da

$$r_i(\boldsymbol{\theta}) := \frac{C_i(\boldsymbol{\theta}) - C_i^{\text{mkt}}}{C_i^{\text{mkt}}}, \quad i = 1, \dots, N_{\text{SPX}}(N_{\text{VIX}}).$$

## Componenti

- $C_i^{\text{mkt}}$ : prezzo di mercato dell'opzione,
- $C_i(\boldsymbol{\theta})$ : prezzo dell'opzione secondo il modello di parametri  $\boldsymbol{\theta}$ ,
- $N_{\text{SPX}}, N_{\text{VIX}}$ : numero di opzioni

Funzione obiettivo  $f$ 

$$f(\theta) := \frac{1}{2N_{\text{SPX}}} \|\mathbf{r}_{\text{SPX}}(\theta)\|^2 + \frac{1}{2N_{\text{VIX}}} \|\mathbf{r}_{\text{VIX}}(\theta)\|^2,$$

dove l'elemento  $i$  del vettore  $\mathbf{r}_{\text{SPX}}$  ( $\mathbf{r}_{\text{VIX}}$ ) è dato da

$$r_i(\theta) := \frac{C_i(\theta) - C_i^{\text{mkt}}}{C_i^{\text{mkt}}}, \quad i = 1, \dots, N_{\text{SPX}}(N_{\text{VIX}}).$$

## Componenti

- $C_i^{\text{mkt}}$ : prezzo di **mercato** dell'opzione,
- $C_i(\theta)$ : prezzo dell'opzione secondo il **modello** di parametri  $\theta$ ,
- $N_{\text{SPX}}, N_{\text{VIX}}$ : numero di opzioni

Funzione obiettivo  $f$ 

$$f(\theta) := \frac{1}{2N_{\text{SPX}}} \|\mathbf{r}_{\text{SPX}}(\theta)\|^2 + \frac{1}{2N_{\text{VIX}}} \|\mathbf{r}_{\text{VIX}}(\theta)\|^2,$$

dove l'elemento  $i$  del vettore  $\mathbf{r}_{\text{SPX}}$  ( $\mathbf{r}_{\text{VIX}}$ ) è dato da

$$r_i(\theta) := \frac{C_i(\theta) - C_i^{\text{mkt}}}{C_i^{\text{mkt}}}, \quad i = 1, \dots, N_{\text{SPX}}(N_{\text{VIX}}).$$

## Componenti

- $C_i^{\text{mkt}}$ : prezzo di **mercato** dell'opzione,
- $C_i(\theta)$ : prezzo dell'opzione secondo il **modello** di parametri  $\theta$ ,
- $N_{\text{SPX}}, N_{\text{VIX}}$ : numero di opzioni

Funzione obiettivo  $f$ 

$$f(\boldsymbol{\theta}) := \frac{1}{2N_{\text{SPX}}} \|\mathbf{r}_{\text{SPX}}(\boldsymbol{\theta})\|^2 + \frac{1}{2N_{\text{VIX}}} \|\mathbf{r}_{\text{VIX}}(\boldsymbol{\theta})\|^2,$$

dove l'elemento  $i$  del vettore  $\mathbf{r}_{\text{SPX}}$  ( $\mathbf{r}_{\text{VIX}}$ ) è dato da

$$r_i(\boldsymbol{\theta}) := \frac{C_i(\boldsymbol{\theta}) - C_i^{\text{mkt}}}{C_i^{\text{mkt}}}, \quad i = 1, \dots, N_{\text{SPX}}(N_{\text{VIX}}).$$

## Componenti

- $C_i^{\text{mkt}}$ : prezzo di **mercato** dell'opzione,
- $C_i(\boldsymbol{\theta})$ : prezzo dell'opzione secondo il **modello** di parametri  $\boldsymbol{\theta}$ ,
- $N_{\text{SPX}}, N_{\text{VIX}}$ : numero di opzioni

## Caratteristiche della funzione obiettivo:

15/29

### Elementi chiave

- **Residui:**  $\frac{C_i(\theta) - C_i^{\text{mkt}}}{C_i^{\text{mkt}}}$  scarti relativi.
- **Pesi:**  $\left\{ \frac{1}{N_{\text{SPX}}}, \frac{1}{N_{\text{VIX}}} \right\}$  bilanciamento dei due mercati.

### Osservazione

La funzione obiettivo **non è lineare** nel vettore dei parametri  $\theta$ .

⇒ Necessari metodi di minimizzazione **iterativi**.

### Scelta

Ci baseremo su metodi che utilizzano il **gradiente** della funzione obiettivo rispetto al vettore dei parametri  $\theta$ , indicato con  $\nabla_{\theta} f = \frac{\partial f}{\partial \theta}$ .

## Elementi chiave

- **Residui:**  $\frac{C_i(\theta) - C_i^{\text{mkt}}}{C_i^{\text{mkt}}}$  scarti relativi.
- **Pesi:**  $\left\{ \frac{1}{N_{\text{SPX}}}, \frac{1}{N_{\text{VIX}}} \right\}$  bilanciamento dei due mercati.

## Osservazione

La funzione obiettivo **non è lineare** nel vettore dei parametri  $\theta$ .

⇒ Necessari metodi di minimizzazione **iterativi**.

## Scelta

Ci baseremo su metodi che utilizzano il **gradiente** della funzione obiettivo rispetto al vettore dei parametri  $\theta$ , indicato con  $\nabla_{\theta} f = \frac{\partial f}{\partial \theta}$ .

## Elementi chiave

- **Residui:**  $\frac{C_i(\theta) - C_i^{\text{mkt}}}{C_i^{\text{mkt}}}$  scarti relativi.
- **Pesi:**  $\left\{ \frac{1}{N_{\text{SPX}}}, \frac{1}{N_{\text{VIX}}} \right\}$  bilanciamento dei due mercati.

## Osservazione

La funzione obiettivo **non è lineare** nel vettore dei parametri  $\theta$ .

⇒ Necessari metodi di minimizzazione **iterativi**.

## Scelta

Ci baseremo su metodi che utilizzano il **gradiente** della funzione obiettivo rispetto al vettore dei parametri  $\theta$ , indicato con  $\nabla_{\theta} f = \frac{\partial f}{\partial \theta}$ .



## Elementi chiave

- **Residui:**  $\frac{C_i(\theta) - C_i^{\text{mkt}}}{C_i^{\text{mkt}}}$  scarti relativi.
- **Pesi:**  $\left\{ \frac{1}{N_{\text{SPX}}}, \frac{1}{N_{\text{VIX}}} \right\}$  bilanciamento dei due mercati.

## Osservazione

La funzione obiettivo **non è lineare** nel vettore dei parametri  $\theta$ .

⇒ Necessari metodi di minimizzazione **iterativi**.

## Scelta

Ci baseremo su metodi che utilizzano il **gradiente** della funzione obiettivo rispetto al vettore dei parametri  $\theta$ , indicato con  $\nabla_{\theta} f = \frac{\partial f}{\partial \theta}$ .

## Elementi chiave

- **Residui:**  $\frac{C_i(\theta) - C_i^{\text{mkt}}}{C_i^{\text{mkt}}}$  scarti relativi.
- **Pesi:**  $\left\{ \frac{1}{N_{\text{SPX}}}, \frac{1}{N_{\text{VIX}}} \right\}$  bilanciamento dei due mercati.

## Osservazione

La funzione obiettivo **non è lineare** nel vettore dei parametri  $\theta$ .

⇒ Necessari metodi di minimizzazione **iterativi**.

## Scelta

Ci baseremo su metodi che utilizzano il **gradiente** della funzione obiettivo rispetto al vettore dei parametri  $\theta$ , indicato con  $\nabla_{\theta} f = \frac{\partial f}{\partial \theta}$ .

1. **Formule chiuse** dei prezzi delle opzioni nei due modelli [Pompa, 2015]
2. Espressioni analitiche delle funzioni caratteristiche **numericamente continue** e **facilmente derivabili** [Cui et al., 2017]
3. Integrazione numerica: formule di quadratura di **Gauss-Legendre**

1. **Formule chiuse** dei prezzi delle opzioni nei due modelli [Pompa, 2015]
2. Espressioni analitiche delle funzioni caratteristiche **numericamente continue** e **facilmente derivabili** [Cui et al., 2017]
3. Integrazione numerica: formule di quadratura di **Gauss-Legendre**

1. **Formule chiuse** dei prezzi delle opzioni nei due modelli [Pompa, 2015]
2. Espressioni analitiche delle funzioni caratteristiche **numericamente continue** e **facilmente derivabili** [Cui et al., 2017]
3. Integrazione numerica: formule di quadratura di **Gauss-Legendre**

- 1 Introduzione
- 2 Modelli a volatilità stocastica
- 3 Calibrazione e gradiente analitico
- 4 Algoritmi di calibrazione**
- 5 Risultati numerici
- 6 Conclusioni

## Notazione

Chiamiamo  $\mathbf{J} := \nabla_{\boldsymbol{\theta}} \mathbf{r}^T \in \mathbb{R}^{m \times n}$  la matrice Jacobiana dei residui  $\mathbf{r}$ .  
 $\Rightarrow \nabla_{\boldsymbol{\theta}} f = \mathbf{J} \mathbf{r}$

## Domanda

Come facciamo a trovare  $\boldsymbol{\theta}$  che minimizzi  $f$ ?

## Idea

Utilizzare algoritmi *iterativi*:

- scegliere vettore dei parametri iniziali  $\boldsymbol{\theta}_0$ .
- all'iterazione  $k$ , trovare  $\boldsymbol{\theta}_{k+1}$  da  $\boldsymbol{\theta}_k$ .

## Notazione

Chiamiamo  $\mathbf{J} := \nabla_{\boldsymbol{\theta}} \mathbf{r}^T \in \mathbb{R}^{m \times n}$  la matrice Jacobiana dei residui  $\mathbf{r}$ .  
 $\Rightarrow \nabla_{\boldsymbol{\theta}} f = \mathbf{J} \mathbf{r}$

## Domanda

Come facciamo a trovare  $\boldsymbol{\theta}$  che minimizzi  $f$ ?

## Idea

Utilizzare algoritmi *iterativi*:

- scegliere vettore dei parametri iniziali  $\boldsymbol{\theta}_0$ .
- all'iterazione  $k$ , trovare  $\boldsymbol{\theta}_{k+1}$  da  $\boldsymbol{\theta}_k$ .



## Notazione

Chiamiamo  $\mathbf{J} := \nabla_{\boldsymbol{\theta}} \mathbf{r}^T \in \mathbb{R}^{m \times n}$  la matrice Jacobiana dei residui  $\mathbf{r}$ .  
 $\Rightarrow \nabla_{\boldsymbol{\theta}} f = \mathbf{J} \mathbf{r}$

## Domanda

Come facciamo a trovare  $\boldsymbol{\theta}$  che minimizzi  $f$ ?

## Idea

Utilizzare algoritmi *iterativi*:

- scegliere vettore dei parametri iniziali  $\boldsymbol{\theta}_0$ .
- all'iterazione  $k$ , trovare  $\boldsymbol{\theta}_{k+1}$  da  $\boldsymbol{\theta}_k$ .

## Notazione

Chiamiamo  $\mathbf{J} := \nabla_{\boldsymbol{\theta}} \mathbf{r}^T \in \mathbb{R}^{m \times n}$  la matrice Jacobiana dei residui  $\mathbf{r}$ .  
 $\Rightarrow \nabla_{\boldsymbol{\theta}} f = \mathbf{J} \mathbf{r}$

## Domanda

Come facciamo a trovare  $\boldsymbol{\theta}$  che minimizzi  $f$ ?

## Idea

Utilizzare algoritmi *iterativi*:

- scegliere vettore dei parametri iniziali  $\boldsymbol{\theta}_0$ .
- all'iterazione  $k$ , trovare  $\boldsymbol{\theta}_{k+1}$  da  $\boldsymbol{\theta}_k$ .

## Notazione

Chiamiamo  $\mathbf{J} := \nabla_{\boldsymbol{\theta}} \mathbf{r}^T \in \mathbb{R}^{m \times n}$  la matrice Jacobiana dei residui  $\mathbf{r}$ .  
 $\Rightarrow \nabla_{\boldsymbol{\theta}} f = \mathbf{J} \mathbf{r}$

## Domanda

Come facciamo a trovare  $\boldsymbol{\theta}$  che minimizzi  $f$ ?

## Idea

Utilizzare algoritmi *iterativi*:

- scegliere vettore dei parametri iniziali  $\boldsymbol{\theta}_0$ .
- all'iterazione  $k$ , trovare  $\boldsymbol{\theta}_{k+1}$  da  $\boldsymbol{\theta}_k$ .

## Algoritmo di Gauss-Newton

All'iterazione  $k$ , con  $\theta_k$  noto, risolvere

$$\begin{cases} (\mathbf{J}\mathbf{J}^T)_k \Delta\theta_k = -\nabla f(\theta_k), \\ \theta_{k+1} = \theta_k + \Delta\theta_k. \end{cases}$$

### Vantaggi

- efficiente
- poche iterazioni: rapido

### Limite

La convergenza non è garantita.

## Algoritmo di Gauss-Newton

All'iterazione  $k$ , con  $\theta_k$  noto, risolvere

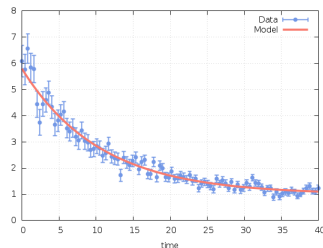
$$\begin{cases} (JJ^T)_k \Delta\theta_k = -\nabla f(\theta_k), \\ \theta_{k+1} = \theta_k + \Delta\theta_k. \end{cases}$$

### Vantaggi

- efficiente
- poche iterazioni: rapido

### Limite

La convergenza non è garantita.



## Algoritmo di Gauss-Newton

All'iterazione  $k$ , con  $\theta_k$  noto, risolvere

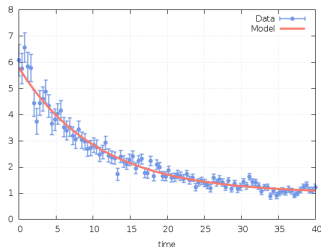
$$\begin{cases} (JJ^T)_k \Delta\theta_k = -\nabla f(\theta_k), \\ \theta_{k+1} = \theta_k + \Delta\theta_k. \end{cases}$$

### Vantaggi

- efficiente
- poche iterazioni: rapido

### Limite

La convergenza non è garantita.



## Algoritmo di Gauss-Newton

All'iterazione  $k$ , con  $\theta_k$  noto, risolvere

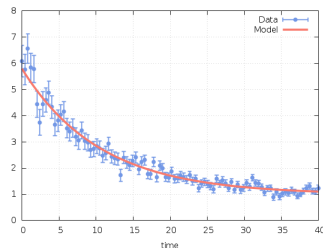
$$\begin{cases} (JJ^T)_k \Delta\theta_k = -\nabla f(\theta_k), \\ \theta_{k+1} = \theta_k + \Delta\theta_k. \end{cases}$$

### Vantaggi

- efficiente
- poche iterazioni: rapido

### Limite

La convergenza non è garantita.



## Metodo della discesa del gradiente:

All'iterazione  $k$ , con  $\theta_k$  noto, risolvere

$$\theta_{k+1} = \theta_k - \gamma_k \nabla f(\theta_k).$$

$\gamma_k$ : lunghezza del passo di discesa.

## Vantaggio

La convergenza è garantita.

## Limite

Il metodo non è efficiente,  
richiede molte iterazioni.



## Metodo della discesa del gradiente:

All'iterazione  $k$ , con  $\theta_k$  noto, risolvere

$$\theta_{k+1} = \theta_k - \gamma_k \nabla f(\theta_k).$$

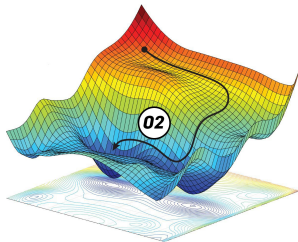
$\gamma_k$ : lunghezza del passo di discesa.

### Vantaggio

La convergenza è garantita.

### Limite

Il metodo non è efficiente,  
richiede molte iterazioni.



## Metodo della discesa del gradiente:

All'iterazione  $k$ , con  $\theta_k$  noto, risolvere

$$\theta_{k+1} = \theta_k - \gamma_k \nabla f(\theta_k).$$

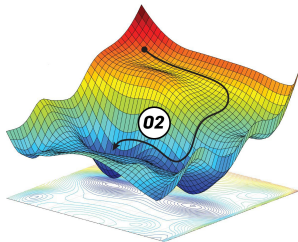
$\gamma_k$ : lunghezza del passo di discesa.

## Vantaggio

La convergenza è garantita.

## Limite

Il metodo non è efficiente,  
richiede molte iterazioni.



## Metodo della discesa del gradiente:

All'iterazione  $k$ , con  $\theta_k$  noto, risolvere

$$\theta_{k+1} = \theta_k - \gamma_k \nabla f(\theta_k).$$

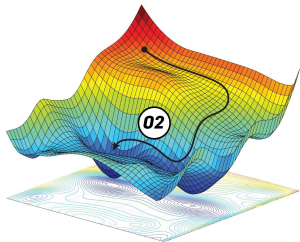
$\gamma_k$ : lunghezza del passo di discesa.

## Vantaggio

La convergenza è garantita.

## Limite

Il metodo non è efficiente,  
richiede molte iterazioni.



## Algoritmo Levenberg-Marquardt

All'iterazione  $k$ , con  $\lambda_k = \frac{1}{\gamma_k}$ , risolvere

$$\begin{cases} [(\mathbf{J}\mathbf{J}^T)_k + \lambda_k \mathbf{I}] \Delta \boldsymbol{\theta}_k = -\nabla f(\boldsymbol{\theta}_k), \\ \boldsymbol{\theta}_{k+1} = \boldsymbol{\theta}_k + \Delta \boldsymbol{\theta}_k. \end{cases}$$

Comportamento asintotico: *smorzamento*  $\lambda_k$

- $\lambda_k \rightarrow 0$ : metodo Gauss-Newton.
- $\lambda_k \rightarrow \infty$ : discesa del gradiente, con  $\gamma_k \rightarrow 0$ .

## Conclusione

Metodo robusto ed efficiente, adatto al nostro problema!

## Algoritmo Levenberg-Marquardt

All'iterazione  $k$ , con  $\lambda_k = \frac{1}{\gamma_k}$ , risolvere

$$\begin{cases} [(\mathbf{J}\mathbf{J}^T)_k + \lambda_k \mathbf{I}] \Delta \boldsymbol{\theta}_k = -\nabla f(\boldsymbol{\theta}_k), \\ \boldsymbol{\theta}_{k+1} = \boldsymbol{\theta}_k + \Delta \boldsymbol{\theta}_k. \end{cases}$$

Comportamento asintotico: *smorzamento*  $\lambda_k$

- $\lambda_k \rightarrow 0$ : metodo Gauss-Newton.
- $\lambda_k \rightarrow \infty$ : discesa del gradiente, con  $\gamma_k \rightarrow 0$ .

## Conclusione

Metodo robusto ed efficiente, adatto al nostro problema!

## Algoritmo Levenberg-Marquardt

All'iterazione  $k$ , con  $\lambda_k = \frac{1}{\gamma_k}$ , risolvere

$$\begin{cases} [(\mathbf{J}\mathbf{J}^T)_k + \lambda_k \mathbf{I}] \Delta \boldsymbol{\theta}_k = -\nabla f(\boldsymbol{\theta}_k), \\ \boldsymbol{\theta}_{k+1} = \boldsymbol{\theta}_k + \Delta \boldsymbol{\theta}_k. \end{cases}$$

Comportamento asintotico: *smorzamento*  $\lambda_k$

- $\lambda_k \rightarrow 0$ : metodo Gauss-Newton.
- $\lambda_k \rightarrow \infty$ : discesa del gradiente, con  $\gamma_k \rightarrow 0$ .

## Conclusione

Metodo robusto ed efficiente, adatto al nostro problema!

### Algoritmo Levenberg-Marquardt

All'iterazione  $k$ , con  $\lambda_k = \frac{1}{\gamma_k}$ , risolvere

$$\begin{cases} [(\mathbf{J}\mathbf{J}^T)_k + \lambda_k \mathbf{I}] \Delta \boldsymbol{\theta}_k = -\nabla f(\boldsymbol{\theta}_k), \\ \boldsymbol{\theta}_{k+1} = \boldsymbol{\theta}_k + \Delta \boldsymbol{\theta}_k. \end{cases}$$

Comportamento asintotico: *smorzamento*  $\lambda_k$

- $\lambda_k \rightarrow 0$ : metodo Gauss-Newton.
- $\lambda_k \rightarrow \infty$ : discesa del gradiente, con  $\gamma_k \rightarrow 0$ .

### Conclusione

Metodo robusto ed efficiente, adatto al nostro problema!

- 1 Introduzione
- 2 Modelli a volatilità stocastica
- 3 Calibrazione e gradiente analitico
- 4 Algoritmi di calibrazione
- 5 Risultati numerici**
- 6 Conclusioni



Idea: simulazioni con prezzi sintetici

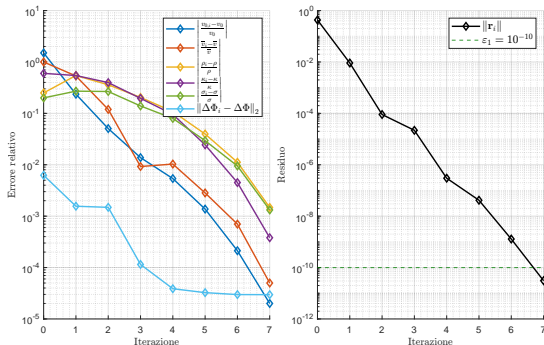
Generiamo i prezzi di mercato  $C_i^{\text{mkt}}$  con il modello di parametri  $\theta^{\text{mkt}}$ .

Risultati dell'algoritmo:

Idea: simulazioni con prezzi sintetici

Generiamo i prezzi di mercato  $C_i^{\text{mkt}}$  con il modello di parametri  $\theta^{\text{mkt}}$ .

Risultati dell'algoritmo:



## Robustezza

Ricavati i parametri ottimi nel **99,8%** delle simulazioni, rispetto all'88% delle ricerche precedenti [Zhao, 2018].

## Efficienza e velocità

Costo computazionale ridotto del **67%** rispetto alla ricerca precedente [Zhao, 2018].

## Problematiche emerse

Necessario cambiare punto iniziale  $\theta_0$  nell'11% dei casi.

⇒ Possibile presenza di minimi locali.

## Robustezza

Ricavati i parametri ottimi nel **99,8%** delle simulazioni, rispetto all'88% delle ricerche precedenti [Zhao, 2018].

## Efficienza e velocità

Costo computazionale ridotto del **67%** rispetto alla ricerca precedente [Zhao, 2018].

## Problematiche emerse

Necessario cambiare punto iniziale  $\theta_0$  nell'11% dei casi.

⇒ Possibile presenza di minimi locali.

## Robustezza

Ricavati i parametri ottimi nel **99,8%** delle simulazioni, rispetto all'88% delle ricerche precedenti [Zhao, 2018].

## Efficienza e velocità

Costo computazionale ridotto del **67%** rispetto alla ricerca precedente [Zhao, 2018].

## Problematiche emerse

Necessario cambiare punto iniziale  $\theta_0$  nell'11% dei casi.

⇒ Possibile presenza di **minimi locali**.

## Robustezza

Ricavati i parametri ottimi nel **99,8%** delle simulazioni, rispetto all'88% delle ricerche precedenti [Zhao, 2018].

## Efficienza e velocità

Costo computazionale ridotto del **67%** rispetto alla ricerca precedente [Zhao, 2018].

## Problematiche emerse

Necessario cambiare punto iniziale  $\theta_0$  nell'11% dei casi.

⇒ Possibile presenza di **minimi locali**.

## Metodologia

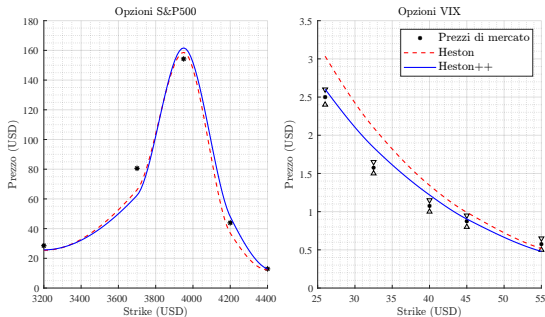
Calibriamo i **prezzi di mercato** con i due modelli Heston e Heston++.

Risultati della calibrazione:

## Metodologia

Calibriamo i **prezzi di mercato** con i due modelli Heston e Heston++.

## Risultati della calibrazione:





- 1 Introduzione
- 2 Modelli a volatilità stocastica
- 3 Calibrazione e gradiente analitico
- 4 Algoritmi di calibrazione
- 5 Risultati numerici
- 6 Conclusioni**

## Paragone tra i modelli

Heston++ si presta meglio a modellare simultaneamente i due mercati.

⇒ Prezzi VIX: errore relativo medio passa dal **16%** al **10%**.

## Principale limite

L'errore relativo medio globale sul portafoglio di opzioni resta piuttosto elevato ( $\approx 12\%$ ).

## Sviluppi futuri

- Estendere la calibrazione al modello Heston++ completo [Pacati et al., 2018], oppure a modelli differenti (come il Rough Heston).
- Implementare tecniche per la ricerca del minimo globale.

## Paragone tra i modelli

Heston++ si presta meglio a modellare simultaneamente i due mercati.

⇒ Prezzi VIX: errore relativo medio passa dal **16%** al **10%**.

## Principale limite

L'errore relativo medio globale sul portafoglio di opzioni resta piuttosto elevato ( $\approx 12\%$ ).

## Sviluppi futuri

- Estendere la calibrazione al modello Heston++ completo [Pacati et al., 2018], oppure a modelli differenti (come il Rough Heston).
- Implementare tecniche per la ricerca del minimo globale.

## Paragone tra i modelli

Heston++ si presta meglio a modellare simultaneamente i due mercati.

⇒ Prezzi VIX: errore relativo medio passa dal **16%** al **10%**.

## Principale limite

L'errore relativo medio globale sul portafoglio di opzioni resta piuttosto elevato ( $\approx 12\%$ ).

## Sviluppi futuri

- Estendere la calibrazione al modello Heston++ completo [Pacati et al., 2018], oppure a modelli differenti (come il Rough Heston).
- Implementare tecniche per la ricerca del minimo globale.

## Paragone tra i modelli

Heston++ si presta meglio a modellare simultaneamente i due mercati.  
⇒ Prezzi VIX: errore relativo medio passa dal **16%** al **10%**.

## Principale limite

L'errore relativo medio globale sul portafoglio di opzioni resta piuttosto elevato ( $\approx 12\%$ ).

## Sviluppi futuri

- Estendere la calibrazione al modello **Heston++ completo** [Pacati et al., 2018], oppure a modelli differenti (come il Rough Heston).
- Implementare tecniche per la ricerca del minimo globale.

## Paragone tra i modelli

Heston++ si presta meglio a modellare simultaneamente i due mercati.  
⇒ Prezzi VIX: errore relativo medio passa dal **16%** al **10%**.

## Principale limite

L'errore relativo medio globale sul portafoglio di opzioni resta piuttosto elevato ( $\approx 12\%$ ).

## Sviluppi futuri

- Estendere la calibrazione al modello **Heston++ completo** [Pacati et al., 2018], oppure a modelli differenti (come il Rough Heston).
- Implementare tecniche per la ricerca del minimo globale.

Grazie per la vostra attenzione!





CBOE. (2021). *Historical and Daily Market Data*.

<https://www.cboe.com/us/options/>



Cui, Y., Del Baño Rollin, S. & Germano, G. (2017). Full and fast calibration of the Heston stochastic volatility model. *European Journal of Operational Research*, 263, 625–638.

<https://doi.org/10.1016/j.ejor.2017.05.018>



Nasdaq. (2021). *S&P500 (SPX) Historical Data*.

<https://www.nasdaq.com/it/market-activity/index/spx/historical>



Pacati, C., Pompa, G. & Renò, R. (2018). Smiling twice: The Heston++ model [SSRN 2697179]. *Journal of Banking and Finance*. <https://doi.org/10.2139/ssrn.2697179>





Pompa, G. (2015). *Deterministic Shift Extension of Affine Models for Variance Derivatives*.

<https://doi.org/10.6092/imtlucca/e-theses/185>



Zhao, L. (2018). *Analytically Differentiable Expression of the Characteristic Function of the Heston Model with Displacement and its Use in Calibration* (Tesi di laurea). [University College London](#).